

# О СВОЙСТВАХ РЕШЕНИЙ ДЛЯ МГД УДАРНЫХ ВОЛН В БЕССТОЛКНОВИТЕЛЬНОЙ ПЛАЗМЕ С ТЕПЛОВЫМИ ПОТОКАМИ

Кузнецов В.Д., Осин А.И.<sup>1</sup>

*ИЗМИРАН, Москва, Троицк*

## ON THE PROPERTIES OF SOLUTIONS FOR MHD SHOCK WAVES IN COLLISIONLESS PLASMA WITH HEAT FLUXES

Kuznetsov V.D., Osin A.I.

*IZMIRAN, Moscow, Troitsk*

### Abstract

The research is aimed at the study of the properties of solutions for parallel MHD shock waves in collisionless plasma with heat fluxes, using 8-moment MHD approximation. Restrictions have been established on the upstream shock parameters preserving physical meaning of the downstream plasma parameters.

**Keywords:** collisionless plasma, heat fluxes, shock waves

### Аннотация

Обсуждаются особенности решений для параллельных МГД ударных волн в бесстолкновительной плазме с тепловыми потоками, полученных в рамках 8-моментного МГД приближения. Определены ограничения на область параметров плазмы перед фронтом ударной волны, в которой существуют решения с сохранением физического смысла параметров плазмы за фронтом ударной волны.

## 1 Введение

Бесстолкновительная плазма солнечного ветра, как показывают измерения на космических аппаратах [1, 2, 3], характеризуется температурной анизотропией ( $T_{\parallel}$ ,  $T_{\perp}$ ), наличием тепловых потоков и турбулентностью. Ударные волны в космической плазме являются весьма распространенным и часто наблюдаемым явлением. В анизотропной плазме ЧГЛ [4] ударные волны изучались в ряде работ [5, 6, 7, 8], однако до сих пор не было попыток исследовать ударные волны в более сложных моделях бесстолкновительной плазмы, в частности, анизотропной плазмы с тепловыми потоками [9, 10]. В [11] было опубликовано решение соотношений на разрыве для параллельных ударных волн на основе 8-моментного приближения [9, 10], определены области устойчивости плазмы перед фронтом ударной волны и за ним относительно ионно-звуковых возмущений. В [12] был рассмотрен вопрос о генерации ионно-звуковой, шланговой и зеркальной неустойчивостей за фронтом параллельной ударной волны.

В настоящей работе приводится анализ полученного решения, рассматриваются области его существования и соответствующие ограничения на параметры ударных волн.

## 2 Решение для параллельных ударных волн

В работе [11] приведены основные уравнения и соотношения Гюгонио на разрыве для параллельных ударных волн в анизотропной плазме с потоками тепла. Определим функцию сжатия  $X$  плазмы в ударной волне

$$X \stackrel{\text{def}}{=} \frac{\rho_2}{\rho_1} \quad (1)$$

---

<sup>1</sup>e-mail: osin@izmiran.ru

где индексом 1 обозначены параметры плазмы перед фронтом, 2 - за фронтом ударной волны. Из уравнения неразрывности следует, что

$$Y \stackrel{def}{=} \frac{u_2}{u_1} = 1/X \quad (2)$$

Полученное в [11] решение, описывающее параллельные ударные волны, определяется функцией  $Y(M_1, \varkappa_{\parallel 1})$ , которая имеет вид:

$$Y_{\pm}(M_1, \varkappa_{\parallel 1}) = \frac{1}{2} \left( 1 + \frac{2}{M_1^2} \right) \pm \sqrt{D(M_1, \varkappa_{\parallel 1})} \quad (3)$$

где

$$D(M_1, \varkappa_{\parallel 1}) = \frac{1}{12} + \frac{1}{2M_1^4} - \frac{2\varkappa_{\parallel 1}}{3M_1^3} \quad (4)$$

а давления и тепловые потоки за фронтом ударной волны определяются из следующих соотношений

$$\frac{p_{\parallel 2}}{p_{\parallel 1}} = P \quad (5)$$

$$\frac{p_{\perp 2}}{p_{\perp 1}} = (1 - \varkappa_{\perp 1} Z)/Y \quad (6)$$

$$\frac{S_{\parallel 2}^{\parallel}}{p_{\parallel 1} a_{\parallel 1}} = \varkappa_{\parallel 1} + M_1(1 - Y)(2 - N) \quad (7)$$

$$\frac{S_{\parallel 2}^{\perp}}{p_{\perp 1} a_{\parallel 1}} = \varkappa_{\perp 1} \frac{M_1^2 - 1}{N} \quad (8)$$

Здесь  $M_1 = u_1/a_{\parallel 1}$  - безразмерная скорость потока плазмы перед фронтом ударной волны. Скорость потока  $u_1$  отнесена к скорости тепловой волны  $a_{\parallel 1}$  ( $a_{\parallel 1}^2 = p_{\parallel 1}/\rho_1$ ) из соображений удобства, так как число Маха  $\mathcal{M} = u/c_{f,s}$  - скорость потока плазмы, отнесенная к скорости линейных ионно-звуковых волн, зависит от  $\varkappa_{\parallel}$  - безразмерного потока продольной тепловой энергии вдоль магнитного поля. Безразмерные тепловые потоки продольной ( $S_{\parallel}^{\parallel}$ ) и поперечной ( $S_{\parallel}^{\perp}$ ) тепловой энергии вдоль направления магнитного поля определяются следующим образом

$$\varkappa_{\parallel} = \frac{S_{\parallel}^{\parallel}}{p_{\parallel} a_{\parallel}} \quad , \quad \varkappa_{\perp} = \frac{S_{\parallel}^{\perp}}{p_{\perp} a_{\parallel}} \quad (9)$$

Величины  $P$ ,  $N$  и  $Z$  - функции параметров  $(M_1, \varkappa_{\parallel 1})$  :

$$P(M_1, \varkappa_{\parallel 1}) = 1 + M_1^2 - M_1^2 Y \quad (10)$$

$$N(M_1, \varkappa_{\parallel 1}) = 2M_1^2 Y - M_1^2 - 1 \quad (11)$$

$$Z(M_1, \varkappa_{\parallel 1}) = 2M_1(1 - Y)/N \quad (12)$$

### 3 Свойства решений для параллельных ударных волн

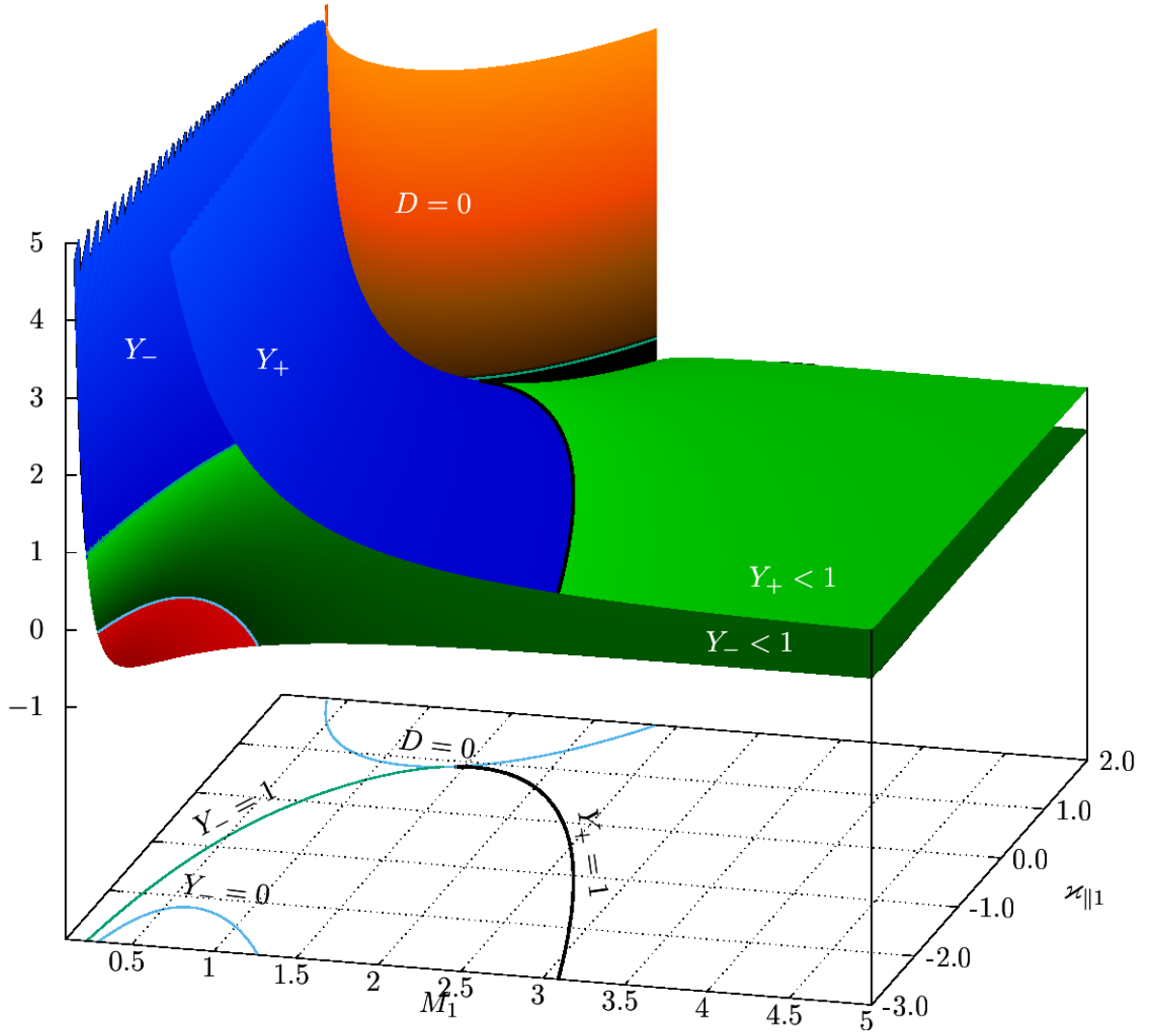
Рассмотрим теперь более детально свойства различных функций, через которые выражаются параметры плазмы за фронтом ударной волны.

Различным знакам в (3) соответствуют два типа решений, причем, с учетом результатов о линейных быстрых и медленных ионно-звуковых волнах в анизотропной плазме с тепловыми потоками [13, 14, 15, 16] можно заключить, что решение  $Y_-$  описывает медленные ударные волны, а  $Y_+$  - как быстрые ( $M_1 > M_1^* = \sqrt{1 + \sqrt{2}}$ ), так и медленные ( $M_1 < M_1^*$ ) ударные волны (см. Рис. (1)).

Так как  $Y = \rho_1/\rho_2$ , функция  $Y(M_1, \varkappa_{\parallel 1})$  должна быть вещественной, что ограничивает область определения решения на  $(M_1, \varkappa_{\parallel 1})$  областью

$$D(M_1, \varkappa_{\parallel 1}) \geq 0 \quad (13)$$





**Рис. 2.** Общий 3D вид решения  $Y_{\pm}$  для параллельных ударных волн.

Кривая  $K_{Y_0}$  имеет единственный максимум в точке  $\sqrt{\sqrt{2}-1} \approx 0.64$  и принимает в ней значение  $-\sqrt{2\sqrt{2}+2} \approx -2.2$ .

Кривая  $K_{Y_1}$ , на которой  $Y = 1$ , определяется с учетом (3):

$$z_{||1} = K_{Y_1}(M_1) = -\frac{M_1^4 - 6M_1^2 + 3}{4M_1} \quad (17)$$

причем условиям  $Y_{\pm} = 1$  соответствуют различные ветви этой кривой на плоскости параметров  $(M_1, z_{||1})$ :

$$Y_- = 1: \quad z_{||1} = K_{Y_1}(M_1), \quad M_1 \leq M_{T1} \quad (18)$$

$$Y_+ = 1: \quad z_{||1} = K_{Y_1}(M_1), \quad M_1 \geq M_{T1} \quad (19)$$

где  $M_{T1} = \sqrt{2}$  – точка касания кривых  $K_{Y_1}(M_1)$  и  $K_{D_0}(M_1)$ . В соответствии с (2) решениям  $Y < 1$  соответствуют ударные волны сжатия,  $Y > 1$  – волны разрежения (Рис 3). Точки на кривой  $Y_{\pm} = 1$  соответствуют ударным волнам бесконечно малой интенсивности, для которых значения всех параметров плазмы за фронтом ударной волны равны их значениям перед фронтом.

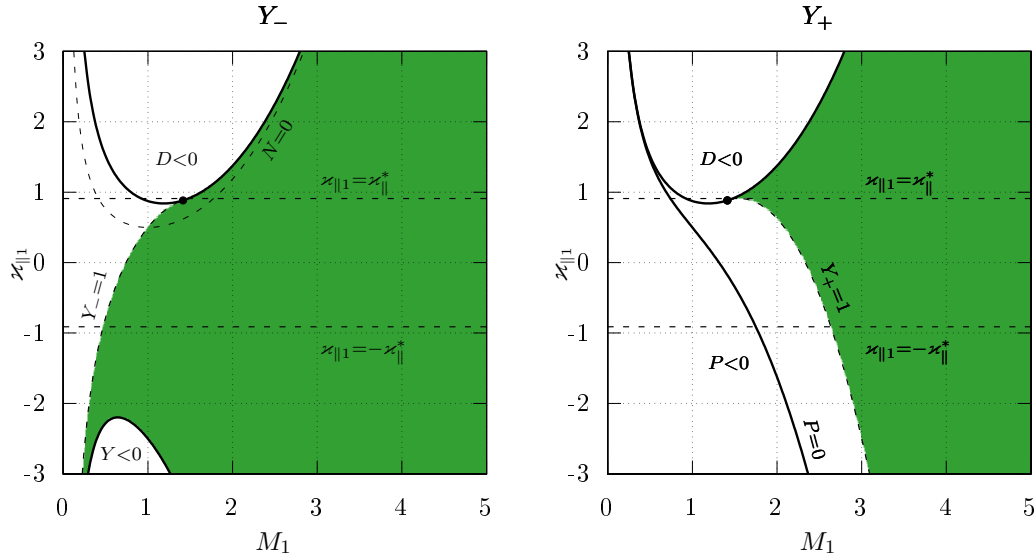
Продольное давление  $p_{||}$  также должно быть положительным. Из (3),(4),(10) получим

$$P(M_1, z_{||1}) = M_1^2 \left( \frac{1}{2} \mp \sqrt{D} \right) \quad (20)$$

Для  $Y_-$  функция  $P$  всегда положительна. Для  $Y_+$ , как следует из (20),  $P > 0$  если  $D < 1/4$ , то есть для точек  $(M_1, \varkappa_{\parallel 1})$  лежащих правее кривой  $K_{P0}$ :

$$\varkappa_{\parallel 1} = K_{P0}(M_1) = \frac{3 - M_1^4}{4M_1} \quad (21)$$

Эта граница проходит в области параметров  $(M_1, \varkappa_{\parallel 1})$ , для которых решению  $Y_+$  соответствуют ударные волны разрежения (Рис. 3).



**Рис. 3.** Области определения решений  $Y_-$  и  $Y_+$ . Закрашенным областям на рисунке соответствуют волны сжатия. Области  $D < 0, Y < 0, P < 0$  не входят в область определения решений.

Дополнительные ограничения на решения следуют из требования положительности поперечного давления  $p_{\perp}$  за фронтом ударной волны, а также конечности поперечного давления и потока поперечной тепловой энергии  $S_{\parallel}^{\perp}$ . Здесь будет необходимо рассмотреть свойства функции (11). На кривой  $K_{N0}$ , определяемой условием  $N(M_1, \varkappa_{\parallel 1}) = 0$ , поперечное давление и поперечный тепловой поток за фронтом ударной волны при наличии отличного от нуля поперечного теплового потока перед фронтом ( $\varkappa_{\perp 1} \neq 0$ ), как это следует из (6),(8),(12), обращаются в бесконечность. Анализ показывает, что функция  $N(M_1, \varkappa_{\parallel 1})$  может обращаться в ноль только для медленных ударных волн ( $Y_-$ ):

$$N = 0 \Leftrightarrow 1 - 2M_1^2\sqrt{D} = 0 \quad (22)$$

Откуда (только для  $Y_-$ ) следует:

$$\varkappa_{\parallel 1} = K_{N0}(M_1) = \frac{M_1^4 + 3}{8M_1} \quad (23)$$

Это - кривая, лежащая всюду ниже  $D = 0$  ( $K_{N0} < K_{D0}$ ), т.к.

$$\frac{M_1^4 + 3}{8M_1} < \frac{M_1^4 + 6}{8M_1} \quad (24)$$

Минимум  $K_{N0}$  находится в точке  $M_1 = 1$  (Рис. 3)

$$\min_{M_1} K_{N0} = K_{N0}(1) = \frac{1}{2} \quad (25)$$

Вернемся к анализу знака  $p_{\perp 2}$ . Из (6), с учетом положительности  $Y, M_1$ , следует:

$$p_{\perp 2} < 0 \Leftrightarrow \varkappa_{\perp 1} Z > 1 \quad (26)$$

что имеет место, если знаки  $\varkappa_{\perp 1}$  и  $Z$  совпадают и поток поперечной тепловой энергии  $\varkappa_{\perp 1}$  достаточно велик. При этом

$$\text{sgn}(Z) = \text{sgn}\left(\frac{1-Y}{N}\right) \quad (27)$$

Функции  $K_{N0}, K_{Y1}^-(Y_- = 1)$  пересекаются в точке  $(1, 1/2)$ . Для знака потока поперечной тепловой энергии за фронтом ударной волны из (8) имеем

$$\text{sgn}(S_{\parallel 2}^{\pm}) = \text{sgn}(S_{\parallel 1}^{\pm}) \text{sgn}\left(\frac{M_1 - 1}{N}\right) \quad (28)$$

## 4 Свойства отображения $(M_1, \varkappa_{\parallel 1}) \rightarrow (M_2, \varkappa_{\parallel 2})$

Функции  $Y_{\pm}$  задают отображения  $F_Y^{\pm} : (M_1, \varkappa_{\parallel 1}) \rightarrow (M_2, \varkappa_{\parallel 2})$  точек пространства параметров  $(M_1, \varkappa_{\parallel 1})$  (перед фронтом ударной волны) в пространство параметров  $(M_2, \varkappa_{\parallel 2})$  (за фронтом ударной волны). Отображение задается парой функций  $F_M(M_1, \varkappa_{\parallel 1}), F_{\varkappa}(M_1, \varkappa_{\parallel 1})$ :

$$M_2 = F_M(M_1, \varkappa_{\parallel 1}) = M_1 \sqrt{\frac{Y}{1 + M_1^2 - M_1^2 Y}} = M_1 \sqrt{\frac{Y}{P}} \quad (29)$$

$$\varkappa_{\parallel 2} = F_{\varkappa}(M_1, \varkappa_{\parallel 1}) = \frac{\varkappa_{\parallel 1} + M_1(1-Y)(2-N)}{\sqrt{Y(1 + M_1^2 - M_1^2 Y)^3}} = \frac{\varkappa_{\parallel 1} + M_1(1-Y)(2-N)}{\sqrt{Y} P^3} \quad (30)$$

где  $Y_{\pm}$  определяется выражениями (3),(4). Областью определения отображения  $F_Y^-$ , поскольку в этом случае  $P > 0$ , является множество точек пространства параметров  $(M_1, \varkappa_{\parallel 1})$

$$\mathcal{D}(Y_-) : D(M_1, \varkappa_{\parallel 1}) \geq 0 \cap Y_-(M_1, \varkappa_{\parallel 1}) > 0 \quad (31)$$

Областью определения отображения  $F_Y^+$  (здесь  $Y_+ > 0$ ) являются точки плоскости  $(M_1, \varkappa_{\parallel 1})$ , определяемые выражением

$$\mathcal{D}(Y_+) : D(M_1, \varkappa_{\parallel 1}) \geq 0 \cap P(M_1, \varkappa_{\parallel 1}) > 0 \quad (32)$$

Области определения отображений  $F_Y^{\pm}$  приведены на Рис. 4 (закрашены, рисунки слева).

Областью значений этих отображений являются определенные подобласти пространства параметров  $(M_2, \varkappa_{\parallel 2})$  (рисунки справа). При этом кривая  $K_{D0}(D = 0)$  (в этом случае  $Y_+ = Y_-$ ) отображается на  $K_{Y1}$ , левая ветвь ( $M_1 < M_{1T}$ ) - на правую ветвь  $K_{Y1}$  ( $K_{Y1}^+$ ), правая ( $M_1 > M_{1T}$ ) - на часть левой ветви  $K_{Y1}$  ( $K_{Y1}^-$ ), где  $M_1 > 1$ .

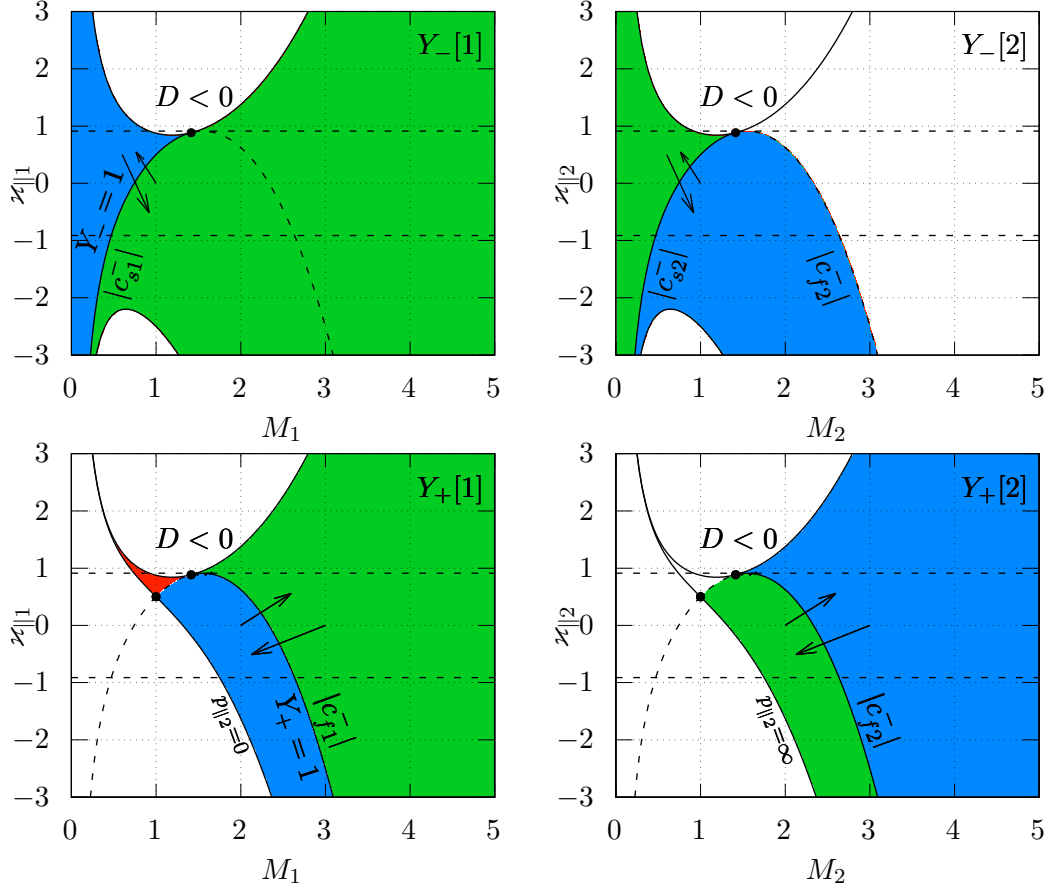
На рисунках также обозначены кривые, соответствующие взятым по модулю безразмерным ( $c_{f,s}^- = a_{f,s}/a_{\parallel}$ ) скоростям быстрых ( $c_f^-$ ) и медленных ( $c_s^-$ ) линейных ионно-звуковых возмущений, распространяющихся в отрицательном направлении (в направлении невозмущенного потока плазмы перед фронтом ударной волны).

Не все параметры  $(M_2, \varkappa_{\parallel 2})$  имеют соответствующий прообраз на плоскости  $(M_1, \varkappa_{\parallel 1})$ . Эти параметры за фронтом ударной волны не реализуются ни при каких значениях параметров  $(M_1, \varkappa_{\parallel 1})$  перед фронтом. Также, не все точки на  $(M_2, \varkappa_{\parallel 2})$  имеют единственный прообраз, т.е. отображение  $F_Y$  не является инъективным. Это означает, что некоторым состояниям за фронтом ударной волны  $(M_2, \varkappa_{\parallel 2})$  соответствуют два решения с различными  $(M_1, \varkappa_{\parallel 1})$ .

Для тех точек  $(M_2, \varkappa_{\parallel 2})$ , для которых существует обратное отображение, его легко получить из соотношений на разрыве (соотношений Гюгонио). Поскольку эти соотношения симметричны относительно состояний перед (1) и за (2) фронтом ударной волны, разрешение этих уравнений относительно состояния за фронтом приводит к идентичным функциональным выражениям с заменой индексов (1) и (2) и  $X$  вместо  $Y$ .

В результате получаем обратное отображение  $G_X(M_2, \varkappa_{\parallel 2}) = F_X^{-1}(M_2, \varkappa_{\parallel 2})$ , такое, что  $G_X(F_Y(M_1, \varkappa_{\parallel 1})) = id(M_1, \varkappa_{\parallel 1}) = (M_1, \varkappa_{\parallel 1})$ , а  $\varkappa_{\parallel 1}$  и  $M_1$  выражаются следующим образом

$$M_1 = M_2 \sqrt{\frac{X}{1 + M_2^2 - M_2^2 X}} \quad (33)$$



**Рис. 4.** Области определения (рисунки слева) и значений (рисунки справа) отображения  $F_Y^\pm$  пространства параметров  $(M_1, \varkappa_{||1})$  в пространство параметров  $(M_2, \varkappa_{||2})$ .

$$\varkappa_{||1} = \frac{\varkappa_{||2} + M_2(1 - X)(2 - N)}{\sqrt{X(1 + M_2^2 - M_2^2 X)^3}} \quad (34)$$

где

$$X_\pm = \frac{1}{2} \left( 1 + \frac{2}{M_2^2} \right) \pm \sqrt{\frac{1}{12} + \frac{1}{2M_2^4} - \frac{2\varkappa_{||2}}{3M_2^3}} \quad (35)$$

Для определения области значений  $F_Y$  определим на  $(M_2, \varkappa_{||2})$  множество точек, для которых  $F_Y(G_X) = id$ , то есть тех точек  $(M_2, \varkappa_{||2})$ , которые при последовательном применении отображений  $G_X : (M_2, \varkappa_{||2}) \rightarrow (M_1, \varkappa_{||1})$  и  $F_Y : (M_1, \varkappa_{||1}) \rightarrow (M_2, \varkappa_{||2})$  возвращаются в исходную точку. Результат графического решения этой задачи представлен на Рис. 4.

Для дальнейшего анализа необходимо пояснить смысл линий на  $(M_1, \varkappa_{||1})$  и  $(M_2, \varkappa_{||2})$  нанесенных пунктиром. Из дисперсионного уравнения для малых одномерных возмущений следует уравнение для безразмерных скоростей ( $y = \omega/ka_{||}$ ) малых ионно-звуковых возмущений вдоль магнитного поля [13, 11]

$$y^4 - 6y^2 - 6\varkappa_{||}y + 3 = 0 \quad (36)$$

откуда

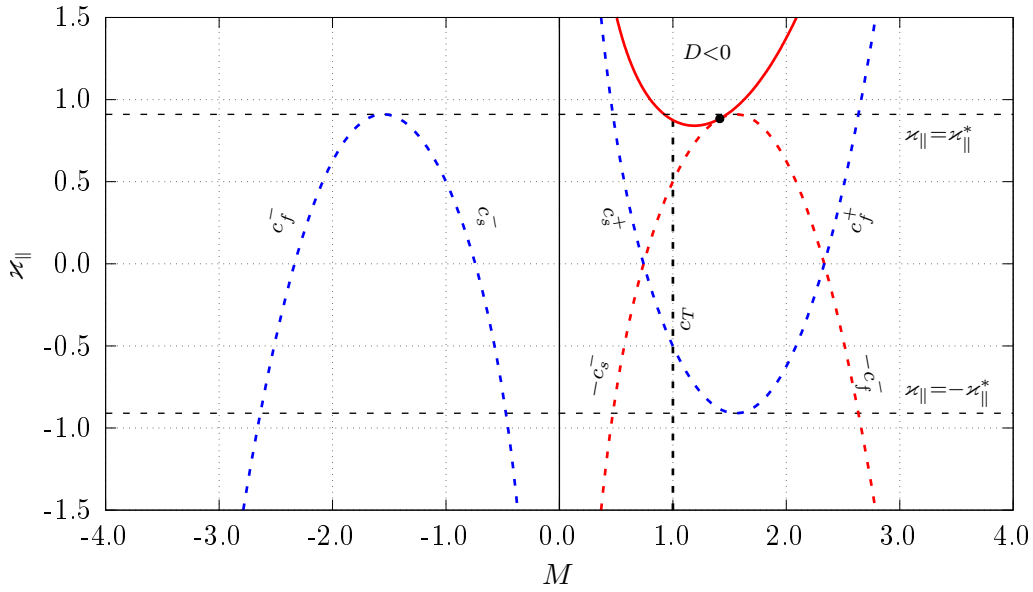
$$\varkappa_{||} = -\frac{y^4 - 6y^2 + 3}{4y} \quad (37)$$

Можно заметить, что это уравнение совпадает с (17), где используется переменная  $M = u/a_{||}$  – безразмерная скорость потока перед фронтом ударной волны (скорость ударной волны), тогда как в (37) – безразмерная фазовая скорость волн и обе величины отнесены к

скорости тепловой волны  $a_{\parallel}$ . Это совпадение отражает известный факт о том, что ударные волны бесконечно малой интенсивности распространяются со скоростью соответствующих малых (быстрых или медленных ионно-звуковых) возмущений.

При описании и анализе различных решений важно иметь возможность сравнивать скорости ударных волн со скоростями малых возмущений ( $\mathcal{M} = u/a$ ), прежде всего со скоростями малых возмущений, распространяющихся против потока плазмы в системе отсчета, связанной с ударной волной. При этом нельзя забывать, что в рассматриваемой модели плазмы скорости линейных волн, вообще говоря (при  $\varkappa_{\parallel} \neq 0$ ), несимметричны относительно направления теплового потока.

Уравнение (37) имеет 4 различных вещественных решения  $y_{1-4}$  при  $|\varkappa_{\parallel}| < \varkappa^*$ . Обозначим эти решения как  $c_{f,s}^{\pm}$  - медленные (s) и быстрые (f) линейные волны, распространяющиеся в положительном (+) и отрицательном (-) направлении. Уравнение (37) позволяет отобразить кривые линейных скоростей  $c_{f,s}^{\pm}$  на  $(M, \varkappa_{\parallel})$ , причем эту схему можно рассматривать как в плазме перед фронтом ударной волны ( $M_1, \varkappa_{\parallel 1}$ ), так и за фронтом ( $M_2, \varkappa_{\parallel 2}$ ).



**Рис. 5.** Фазовые скорости линейных ионно-звуковых волн  $c_{f,s}^{\pm}$ . Скорость тепловой волны  $c_T = 1$  ( $a_T = a_{\parallel}$ ). Красная пунктирная линия :  $-c_{f,s}^-$ .

Если отобразить на  $(M, \varkappa_{\parallel})$  взятые по абсолютной величине безразмерные скорости идущих против потока плазмы линейных волн, то  $|c_{f,s}^-|$  совпадает с  $K_{Y1}$  (Рис. 4, отмечены пунктиром, красным цветом). Для точек, лежащих ниже (“внутри”) указанной кривой, образованной ветвями  $\varkappa_{\parallel} = |c_{f,s}^-|$ , справедливы неравенства

$$\mathcal{M}_s^- > 1 \quad , \quad \mathcal{M}_f^- < 1 \quad (38)$$

здесь  $\mathcal{M}_{f,s}^-$  - “быстрое” и “медленное” числа Маха,  $\mathcal{M}_{f,s}^- = M/|c_{f,s}^-|$ . Соответственно, для точек, лежащих левее кривой  $|c_s^-|$

$$\mathcal{M}_s^- < 1 \quad , \quad \mathcal{M}_f^- < 1 \quad (39)$$

а для точек, лежащих правее кривой  $|c_f^-|$

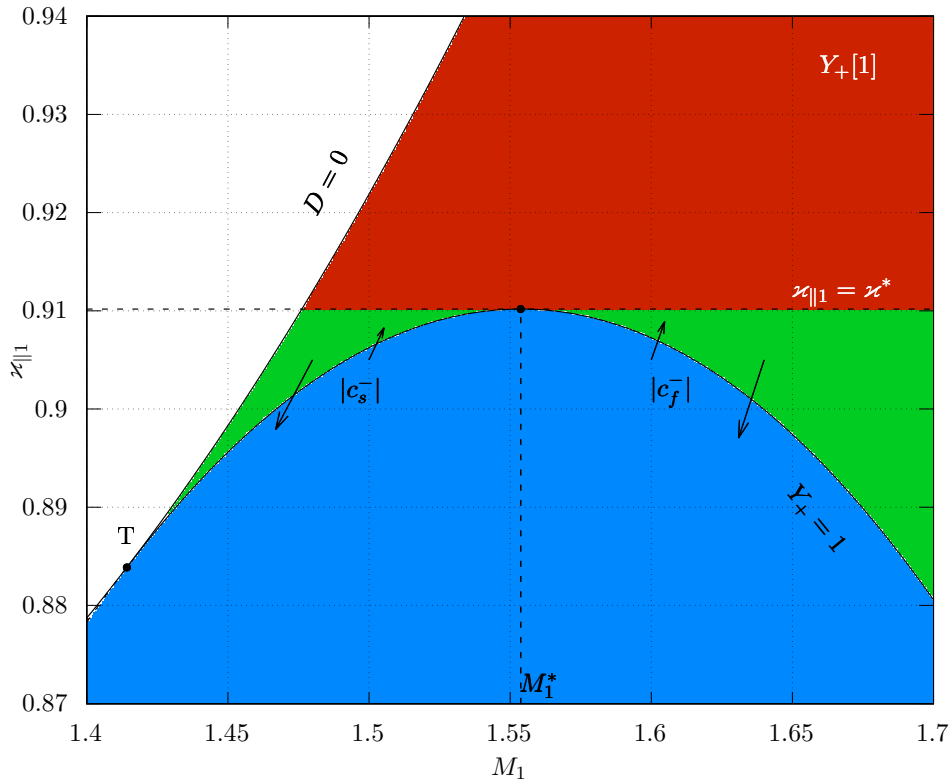
$$\mathcal{M}_s^- > 1 \quad , \quad \mathcal{M}_f^- > 1 \quad (40)$$

Горизонтальными пунктирными линиями на Рис. 3,4,5 отмечены границы области ионно-звуковой неустойчивости  $|\varkappa_{\parallel}| = \varkappa^* = \sqrt{2\sqrt{2} - 2} \approx 0.91$  [13, 11].

Для ударных волн  $Y_-$  вся область определения  $\mathcal{D}(Y_-)$ (31) отображается на  $(M_2, \varkappa_{\parallel 2})$  без точек, лежащих выше  $K_{D0}$ , ниже  $K_{Y0}$  и правее  $|c_{f2}^-|$ . При этом точки  $(M_1, \varkappa_{\parallel 1})$ , лежащие

ниже  $K_{D0}$  и правее  $K_{Y_1}^-$ , соответствуют (медленным) ударным волнам сжатия. За фронтом, на  $(M_2, \varkappa_{||2})$  им соответствуют точки, лежащие ниже  $K_{D0}$  и левее  $|c_{s2}^-|$ , то есть поток за фронтом медленной ударной волны сжатия  $Y_-$  дозвуковой ( $\mathcal{M}_{s2}^- < 1, \mathcal{M}_{f2}^- < 1$ ). Точки, лежащие ниже  $K_{D0}$  и левее  $K_{Y_1}^-$  соответствуют медленным ударным волнам разрежения. За фронтом им соответствуют точки, лежащие ниже кривых  $|c_{s2}^-|, |c_{f2}^-|$ , то есть течение за фронтом медленной ударной волны разрежения сверхзвуковое ( $\mathcal{M}_{s2}^- > 1$ ) по отношению к медленной и дозвуковое ( $\mathcal{M}_{f2}^- < 1$ ) по отношению к быстрой ионно-звуковой волне за фронтом.

Для ударных волн  $Y_+$  область определения решений  $\mathcal{D}(Y_+)$  отображается на аналогичную область пространства параметров  $(M_2, \varkappa_{||2})$ , кроме точек, лежащих ниже  $K_{D0}$ , левее  $|c_{s2}^-|$  и правее  $K_{P0}$  (узкая область параметров вдоль  $D(M_2, \varkappa_{||2}) = 0$ , Рис. 4). Точки  $(M_1, \varkappa_{||1})$ , лежащие ниже  $K_{D0}$  и правее  $|c_{f1}^-|$ , соответствуют быстрым ударным волнам сжатия, лежащие левее  $|c_{s1}^-|$  – медленным ударным волнам сжатия  $Y_+$ . За фронтом, на  $(M_2, \varkappa_{||2})$  (переход обозначен на Рис. 6 стрелками), им соответствуют точки, лежащие ниже  $|c_{s2}^-|, |c_{f2}^-|$  и правее  $K_{P0}(M_2)$ . Поток плазмы перед фронтом быстрой ударной волны сжатия сверхзвуковой,  $\mathcal{M}_{f1}^- > 1$ , за фронтом – дозвуковой,  $\mathcal{M}_{f2}^- < 1$  (но  $\mathcal{M}_{s2}^- > 1$ ). Медленная ударная волна сжатия  $Y_+$  является особенной в том смысле, что в этом случае поток плазмы перед фронтом дозвуковой ( $\mathcal{M}_{s1}^- < 1$ ), а за фронтом – сверхзвуковой ( $\mathcal{M}_{s2}^- > 1$ ), Рис. (6), хотя скорость потока плазмы при этом падает. Такая особенность обусловлена наличием зависимости скоростей линейных волн от величины теплового потока  $\varkappa_{||}$ .



**Рис. 6.** Плоскость  $(M_1, \varkappa_{||1})$  в окрестности точки касания  $T$  кривых  $K_{Y_1}^+$  ( $Y_+ = 1$ ) и  $K_{D0}$  ( $D = 0$ ). Фазовые скорости линейных ионно-звуковых волн  $c_{f,s}^-$  совпадают с  $K_{Y_1}^+$ . Стрелками обозначены переходы через фронт ударной волны  $(M_1, \varkappa_{||1}) \rightarrow (M_2, \varkappa_{||2})$ . Зеленым цветом обозначены волны сжатия, синим - волны разрежения, красным - область ионно-звуковой неустойчивости.

Область быстрых ударных волн разрежения ( $D \geq 0 \cap P > 0 \cap Y_+ > 1$ ) распадается на две подобласти с  $\mathcal{M}_s^- > 1$  и  $\mathcal{M}_s^- < 1$  (Рис. 4), причем обе указанные подобласти отображаются

на область  $D \geq 0 \cap M_2 > |c_{f2}^-|$ . Таким образом, определенное состояние  $(M_2, \varkappa_{||2})$  за фронтом быстрой ударной волны разрежения реализуется в двух различных решениях с различными состояниями перед фронтом ударной волны  $(M_1, \varkappa_{||1})$ .

Здесь следует сделать пояснение, что не все описанные решения имеют физический смысл (физически реализуемы). Во-первых, некорректно рассматривать решения для плазмы, состояние которой удовлетворяет условиям развития ионно-звуковой неустойчивости  $|\varkappa_{||1}| > \varkappa^*$  (Рис 1. в [11], [12]). Во-вторых, для продолжительного существования стационарной структуры ударных волн необходимо, чтобы и за фронтом состояние было устойчивым,  $|\varkappa_{||2}| > \varkappa^*$ . Вопросу возникновения ионно-звуковой, зеркальной и шланговой неустойчивости плазмы за фронтом ударных волн посвящена работа [12]. Кроме того, необходимо исследовать вопрос эволюционности указанных решений. Предварительные результаты такого исследования (готовятся к печати) указывают на то, что, в частности, ударные волны разрежения неэволюционны.

## 5 Заключение

В работе осуществлен анализ полученных ранее решений для параллельных ударных волн в бесстолкновительной плазме на основе 8-моментного МГД приближения. Изучена структура функции  $Y(M_1, \varkappa_{||1})$ , определяющей решения и задающей отображение пространства параметров перед фронтом ударной волны  $(M_1, \varkappa_{||1})$  в пространство параметров за фронтом  $(M_2, \varkappa_{||2})$ . Проанализированы свойства данного отображения, его область определения и область значений. Установлены ограничения на определяющие решения параметры  $(M_1, \varkappa_{||1})$ , при которых существуют решения в виде стационарных ударных волн. Полученные ограничения обеспечивают вещественность всех физических величин, а также положительность плотности, скорости и давления за фронтом ударной волны. Проведенный детальный анализ свойств различных функций, реализующих описанные решения, предоставляет возможность для их дальнейшего изучения, в частности, рассмотрения вопроса об эволюционности параллельных ударных волн в плазме с тепловыми потоками.

## Список литературы

- [1] Matteini L., Landi S., Hellinger P. et al. Evolution of the solar wind proton temperature anisotropy from 0.3 to 2.5 AU // *Geophys. Res. Lett.* — 2007. — Vol. 34. — P. L20105.
- [2] Stansby D., Salem C., Matteini L., Horbury T. A New Inner Heliosphere Proton Parameter Dataset from the Helios Mission // *Solar Physics.* — 2018. — Vol. 293, no. 11. — P. 155.
- [3] Demars H. G., Schunk R.W. Solar wind proton velocity distributions: Comparison of the bi-Maxwellian based 16-moment expansion with observations // *Planet. Space Sci.* — 1990. — Vol. 38, no. 9. — P. 1091–1103.
- [4] Chew G. F., Goldberger M. L., Low F. E. The Boltzmann equation and the one-fluid hydromagnetic equations in the absence of particle collisions // *Proc. R. Soc. Lond.* — 1956. — Vol. A236. — P. 112–118.
- [5] Lynn Y. M. Discontinuities in an anisotropic plasma // *Phys. Fluids.* — 1967. — Vol. 10, no. 10. — P. 2278–2280.
- [6] Abraham-Shrauner B. Shock jump conditions for an anisotropic plasma // *J. Plasma Phys.* — 1967. — Vol. 1, no. 3. — P. 379–381.
- [7] Neubauer F. M. Jump relations for shocks in an anisotropic magnetized plasma // *Z. Physik.* — 1970. — Vol. 237. — P. 205–223.
- [8] Hudson P. D. Shocks in an anisotropic plasma // *J. Plasma Phys.* — 1977. — Vol. 17, no. 3. — P. 419–432.
- [9] Oraevskii V. N., Chodura R., Feneberg W. Hydrodynamic equations for plasmas in strong magnetic fields—I. Collisionless approximation // *Plasma Physics.* — 1968. — Vol. 10. — P. 819–828.

- [10] Ramos J. J. Dynamic evolution of the heat fluxes in a collisionless magnetized plasma // Phys. Plasmas. — 2003. — Vol. 10, no. 9. — P. 3601–3607.
- [11] Kuznetsov V. D., Osin A. I. On the parallel shock waves in collisionless plasma with heat fluxes // Phys. Lett. A. — 2018. — Vol. 382, no. 31. — P. 2052–2054.
- [12] Kuznetsov V. D., Osin A. I. On the shock induced instabilities in collisionless plasma // Phys. Lett. A. — 2020. — Vol. 384, no. 12. — P. 126346. — Access mode: <https://doi.org/10.1016/j.physleta.2020.126346>.
- [13] Namikawa T., Namabata H. Propagation of hydromagnetic waves through a collisionless, heat-conducting plasma // J. Plasma Phys. — 1981. — Vol. 26 (part 1). — P. 95–121.
- [14] Захаров В. Ю. Волны малой амплитуды в замагниченной плазме без столкновений // Вопросы магнитной гидродинамики плазмы без столкновений в сильном магнитном поле / Под ред. Г. А. Любимов, И.С. Шикин. — М. : Изд-во Моск. Ун-та, 1988. — С. 48–70.
- [15] Захаров В. Ю., Чернова Т. Г., Степанов С. Е. Анализ устойчивости однородного состояния анизотропной плазмы // Физика плазмы. — 2015. — Vol. 41, no. 4. — P. 386–390.
- [16] Кузнецов В. Д., Джалилов Н. С. 16-ти моментное приближение для бесстолкновительной космической плазмы: волны и неустойчивости // Физика плазмы. — 2009. — Vol. 35, no. 11. — P. 1041–1054.
- [17] Половин Р. В., Демущкий В.П. Основы магнитной гидродинамики. — Москва : Энергоатомиздат, 1987. — P. 208.
- [18] Taussig R. T. Normal ionizing shock waves // Phys. Fluids. — 1965. — Vol. 8, no. 9. — P. 1616–1627.